# Verfahren zur Bestimmung der spezifischen Aktivität von Strontium-90 in Lebensmitteln mit dem Flüssigkeitsszintillationsspektrometer (Dicyclohexyl-18-Krone-6-Methode)

E-Sr-90-LEBM-04

Bearbeiter:

D. Tait

Leitstelle für Boden, Bewuchs, Futtermittel und Nahrungsmittel pflanzlicher und tierischer Herkunft

# Verfahren zur Bestimmung der spezifischen Aktivität von Strontium-90 in Lebensmitteln mit dem Flüssigkeitsszintillationsspektrometer (Dicyclohexyl-18-Krone-6-Methode)

# 1 Anwendungsbereich

Das Verfahren ist für die Überwachung der spezifischen Aktivität von Strontium-90 (Sr-90) in Lebensmitteln nach dem Strahlenschutzgesetz (StrlSchG) [1] und der Richtlinie zur Erfassung der Emissionen und Immissionen kerntechnischer Anlagen (REI) [2] geeignet. Mit diesem Verfahren können die in der Allgemeinen Verwaltungsvorschrift zum Integrierten Mess- und Informationssystem zur Überwachung der Radioaktivität in der Umwelt nach dem Strahlenschutzvorsorgegesetz (AVV-IMIS) [3] geforderten Nachweisgrenzen erreicht werden.

#### 2 Probeentnahme

Zur Probeentnahme von Lebensmitteln wird auf das Verfahren E- $\gamma$ -SPEKT-LEBM-01 verwiesen.

# 3 Analyse

# 3.1 Prinzip des Verfahrens

Zum Prinzip des Verfahrens wird auf den entsprechenden Abschnitt des Verfahrens F-Sr-90-BODEN-02 verwiesen.

# 3.2 Probenvorbereitung

Zur Probenvorbereitung wird auf den entsprechenden Abschnitt des Verfahrens E-Sr-90-LEBM-03 verwiesen.

# 3.3 Radiochemische Trennung

Die radiochemische Trennung wird nach dem Verfahren F-Sr-90-BODEN-02 durchgeführt. Die Angaben zu Beginn des Abschnittes 3.3 des genannten Verfahrens dienen als Orientierungshilfe.

Die meisten Aschen von Lebensmittelproben sind bei einer konventionellen Extraktion des Strontiums mit siedender, verdünnter Salpetersäure bereits nach zwei Minuten nahezu vollständig gelöst. Falls nach der konventionellen Extraktion ein Rückstand bleibt, kann eine anschließende mikrowellenunterstützte Extraktion bei 10 bar erforderlich sein.

Es werden für die Extraktion bis zu 10 g Asche eingesetzt.

#### **Anmerkung:**

Bei der im Arbeitsschritt 3.3.2.2 der im Verfahren F-Sr-90-BODEN-02 beschriebenen Flüssig-Extraktion trennen sich die Phasen gelegentlich nur langsam. In solchen Fällen führt die Zugabe von maximal 5 ml Methanol zu einer raschen Phasentrennung.

# 4 Messung der Aktivität

Zur Durchführung der Kalibrierung und zur Messung mit dem Flüssigkeitsszintillationsspektrometer wird auf den entsprechenden Abschnitt des Verfahrens F-Sr-90-MILCH-05 verwiesen.

# 5 Berechnung der Analysenergebnisse

Die Berechnung der Analyseergebnisse erfolgt in Anlehnung an das Verfahren E-Sr-90-LEBM-03. Jedoch müssen die Zählraten und der aktivitätsbezogene Kalibrierfaktor  $\varphi_{\rm A}$ 

- im gleichen Energiebereich und
- unter den gleichen Quenchbedingungen, d. h. gleicher Quenchfaktor bei der Messung bestimmt werden.

Wenn zur Bestimmung der chemischen Ausbeute ein Sr-85-Tracer zur Probe gegeben wurde, müssen mögliche Beiträge des Tracers zur Zählrate berücksichtigt werden. In diesem Fall muss der zu erwartende Sr-85-Beitrag im für die Bestimmung der Aktivität von (Sr-90+Y-90) herangezogenen Energiebereich zum Zeitpunkt dieser Messung berechnet und von der Bruttozählrate  $R_{\rm b}$  subtrahiert werden. Daher werden Rechenbeispiele für beide Methoden der Bestimmung der chemischen Ausbeute angegeben.

# 5.1 Gleichungen zur Berechnung

#### 5.1.1 Ergebnisgröße

#### 5.1.1.1 Messpräparat mit Zugabe von Sr-85

Bei der Zugabe von Sr-85 zur Probe wird der zu erwartende Sr-85-Beitrag im für die Bestimmung der spezifischen Aktivität von (Sr-90+Y-90) herangezogenen Energiebereich zum Zeitpunkt dieser Messung gemäß Gleichung (1) ermittelt:

$$R_{\rm Sr-85} = \frac{A_{\rm Sr-85}}{\varphi_{\rm A,Sr-85}} \cdot \eta_{\rm Sr} \cdot f_{\rm b} = \frac{A_{\rm Sr-85}}{\varphi_{\rm A,Sr-85}} \cdot \eta_{\rm Sr} \cdot e^{-\lambda_{\rm Sr-85} \cdot t_{\rm b}}$$
(1)

#### Dabei bedeuten:

 $R_{\rm Sr-85}$  Zählrate des Radionuklids Sr-85, in s<sup>-1</sup>;

 $A_{\rm Sr-85}$  zur Probe zugegebene Aktivität des Radionuklids Sr-85, in Bq;

 $\varphi_{A,Sr-85}$  aktivitätsbezogener Kalibrierfaktor für das Radionuklid Sr-85, in Bq·s;.

 $f_{\rm b}$  Korrektionsfaktor für das Abklingen der Aktivität des Radionuklids Sr-85 für die Zeitspanne zwischen Zugabe des Tracers zur Probe und Beginn der Messung;

 $\lambda_{\rm Sr-85}$  Zerfallskonstante des Radionuklids Sr-85, in s<sup>-1</sup>;

Zeitspanne zwischen Zugabe des Tracers zur Probe und Beginn der Messung, in s;

 $\eta_{\rm Sr}$  chemische Ausbeute für Strontium.

Die Berechnung der spezifischen Aktivität des Radionuklids Sr-90 erfolgt nach Gleichung (2).

$$a = f_2 \cdot \frac{\varphi_A}{\eta_{Sr} \cdot m_{FM}} \cdot R_n = e^{\lambda_{Sr-90} \cdot t_A} \cdot \frac{\varphi_A}{\eta_{Sr} \cdot m_{FM}} \cdot [R_b - (R_0 + R_{Sr-85})]$$
 (2)

#### Darin bedeuten:

a spezifische Aktivität des Radionuklids Sr-90, in Bq·kg<sup>-1</sup>, bezogen auf die Feuchtmasse (FM);

 $\varphi_{\rm A}$  aktivitätsbezogener Kalibrierfaktor für das Radionuklid Sr-90, in Bq·s;

 $t_{\rm A}$  Zeitspanne zwischen Probeentnahme und Beginn der Messung, in s;

 $f_2$  Korrektionsfaktor für das Abklingen der Aktivität von Sr-90 für die Zeitspanne zwischen Probeentnahme und Beginn der Messung. Die Korrektion ist nur erforderlich, wenn die Zeitspanne  $t_{\rm A}$  größer als 0,5 Jahre ist;

 $\lambda_{Sr-90}$  Zerfallskonstante des Radionuklids Sr-90, in s<sup>-1</sup>;

 $R_{\rm b}$  Bruttozählrate, in s<sup>-1</sup>;

 $R_0$  Nulleffektzählrate, in s<sup>-1</sup>;

 $R_{\rm n}$  Nettozählrate des (Sr-90 + Y-90)-Messpräparates, in s<sup>-1</sup>;

 $m_{
m FM}$  Feuchtmasse der eingesetzten Probe, in kg:

 $m_{\rm FM} = m_{\rm a} \cdot q_1 \cdot q_2$ 

mit:  $m_a$  Masse der eingesetzten Probenasche, in kg;

 $q_1$  Verhältnis Trockenmasse zu Aschemasse;

q<sub>2</sub> Verhältnis Feuchtmasse zu Trockenmasse.

#### **Anmerkung:**

Neben der Berechnung kann die Summe  $(R_0 + R_{\rm Sr-85})$ der Beiträge des Nulleffektes sowie des Sr-85 empirisch festgestellt werden. Dazu wird die Aktivität von Sr-85 im Messpräparat gammaspektrometrisch bestimmt. Die gleiche Aktivität von Sr-85 wird dem für die Nulleffektbestimmung der Szintillationsmessungen genutzten Zählfläschchen zugesetzt. Dabei wird vorausgesetzt, dass die gleichen Messbedingungen eingehalten werden.

### 5.1.1.2 Messpräparat ohne Zugabe von Sr-85

Wird bei der Herstellung des Messpräparates kein Sr-85 zugesetzt, sondern ein Kontrollpräparat zur Bestimmung der chemischen Ausbeute verwendet, erfolgt die Berechnung der spezifischen Aktivität von Sr-90 nach Gleichung (3):

$$a = f_2 \cdot \frac{\varphi_A}{\eta_{Sr} \cdot m_{FM}} \cdot R_n = e^{\lambda_{Sr-90} \cdot t_A} \cdot \frac{\varphi_A}{\eta_{Sr} \cdot m_{FM}} \cdot (R_b - R_0)$$
(3)

#### 5.1.2 Standardunsicherheit der Ergebnisgröße

#### 5.1.2.1 Messpräparat mit Zugabe von Sr-85

Die kombinierte relative Standardunsicherheit der spezifischen Aktivität  $u(a) \cdot a^{-1}$  beträgt nach Gleichung (4):

$$\frac{u(a)}{a} = \left\{ \frac{1}{[R_{b} - (R_{0} + R_{Sr-85})]^{2}} \cdot \left[ \frac{R_{b}}{t_{m}} + \frac{R_{0}}{t_{0}} + u^{2}(R_{Sr-85}) \right] + u^{2}_{rel}(f_{2}) + u^{2}_{rel}(\varphi_{A}) + u^{2}_{rel}(\eta_{Sr}) + u^{2}_{rel}(m_{FM}) \right\}^{\frac{1}{2}}$$
(4)

mit:

$$u^{2}(R_{Sr-85}) = R_{Sr-85}^{2} \cdot \left[ u_{rel}^{2}(A_{Sr-85}) + u_{rel}^{2}(\varphi_{A, Sr-85}) + u_{rel}^{2}(\eta_{Sr}) + u_{rel}^{2}(f_{b}) \right]$$
 (5)

Darin bedeuten:

- u(a) kombinierte Standardunsicherheit der spezifischen Aktivität a zum Zeitpunkt der Probeentnahme, in Bq·kg<sup>-1</sup>, bezogen auf die Feuchtmasse (FM);
- $u(R_{Sr-85})$  Standardunsicherheit der Zählrate des Radionuklids Sr-85, in s<sup>-1</sup>;
- $u_{\rm rel}(A_{\rm Sr-85})$  relative Standardunsicherheit der zugesetzten Aktivität des Radionuklids Sr-85;
- $u_{\rm rel}(\varphi_{\rm A,Sr-85})$  relative Standardunsicherheit des aktivitätsbezogenen Kalibrierfaktors für das Radionuklid Sr-85;
- $u_{\rm rel}(\varphi_{\rm A})$  relative Standardunsicherheit des aktivitätsbezogenen Kalibrierfaktors für das Radionuklid Sr-90;
- $u_{\rm rel}(f_{\rm b})$  relative Standardunsicherheit des Korrektionsfaktor für das Abklingen der Aktivität des Radionuklids Sr-85 für die Zeitspanne zwischen Zugabe des Tracers zur Probe und Beginn der Messung.
- $u_{\rm rel}(f_2)$  relative Standardunsicherheit des Korrektionsfaktors für das Abklingen der Aktivität des Radionuklids Sr-90 für die Zeitspanne zwischen Probeentnahme und Beginn der Messung;
- $u_{\rm rel}(\eta_{\rm Sr})$  relative Standardunsicherheit der chemischen Ausbeute für Strontium;

 $u_{\rm rel}(m_{\rm FM})$  relative Standardunsicherheit der Masse der eingesetzten Probe bezogen auf die Feuchtmasse (FM);

t<sub>m</sub> Messdauer, in s;

t<sub>0</sub> Messdauer des Nulleffekts, in s.

Bei der Berechnung der kombinierten relativen Standardunsicherheit der spezifischen Aktivität können im Allgemeinen die Beiträge der relativen Standardunsicherheit des Korrektionsfaktors  $u_{\rm rel}(f_2)$  und der Masse der eingesetzten Probe  $u_{\rm rel}(m_{\rm FM})$  vernachlässigt werden. Bei einem für die Messung der spezifischen Aktivität von (Sr-90 + Y-90) verwendeten Energiebereich von 350 keV bis 1000 keV und einer Aktivität des Radionuklids Sr-85 von nur wenigen Bq ist die Standardunsicherheit  $u(R_{\rm Sr-85})$  gegenüber der Standardunsicherheit des Nulleffektes  $u(R_0)$  vernachlässigbar (siehe Abschnitt 5.2.1).

# 5.1.2.2 Messpräparat ohne Zugabe von Sr-85

Die kombinierte relative Standardunsicherheit der spezifischen Aktivität  $u(a) \cdot a^{-1}$  beträgt nach Gleichung (6):

$$\frac{u(a)}{a} = \sqrt{\frac{1}{(R_{\rm b} - R_0)^2} \cdot \left(\frac{R_{\rm b}}{t_{\rm m}} + \frac{R_0}{t_0}\right) + u_{\rm rel}^2(f_2) + u_{\rm rel}^2(\varphi_{\rm A}) + u_{\rm rel}^2(\eta_{\rm Sr}) + u_{\rm rel}^2(m_{\rm FM})}$$
(6)

Bei der Berechnung der kombinierten relativen Standardunsicherheit der spezifischen Aktivität können im Allgemeinen die Beiträge der relativen Standardunsicherheit des Korrektionsfaktors  $u_{\rm rel}(f_2)$  und der Masse der eingesetzten Probe  $u_{\rm rel}(m_{\rm FM})$  vernachlässigt werden.

# 5.2 Rechenbeispiel

In den Rechenbeispielen der Abschnitte 5.2 und 6.2 werden die Zwischenergebnisse und das Endergebnis mit vier signifikanten Stellen angegeben. Abweichungen von den im Rechenbeispiel berechneten Werten sind bei der Verwendung einer anderen Anzahl von signifikanten Stellen möglich.

#### 5.2.1 Messpräparat mit Zugabe von Sr-85

Im folgenden Beispiel "Feuchtmasse einer Grünkohlprobe" wurden 20 Tage vor Beginn der Messung der Probe 5,0 Bq Sr-85 zugegeben. Für die Berechnung der spezifischen Aktivität des Radionuklids Sr-90 wurde der Energiebereich zwischen 350 keV und 1000 keV im Impulshöhenspektrum verwendet.

Weiterhin wurden folgende Werte ermittelt:

$$\varphi_{A,Sr-85} = 4167 \text{ Bq·s;} \qquad u(R_{Sr-85}) = 0;$$
 $\eta_{Sr} = 0,750; \qquad u_{rel}(\eta_{Sr}) = 0,05;$ 
 $f_b = 0,808; \qquad m_a = 0,010 \text{ kg;}$ 
 $R_b = 0,04167 \text{ s}^{-1}; \qquad t_m = 60 \cdot 10^3 \text{ s;}$ 
 $R_0 = 0,0160 \text{ s}^{-1}; \qquad t_0 = 60 \cdot 10^3 \text{ s;}$ 
 $q_1 = 10,0; \qquad q_2 = 5,88;$ 
 $m_{FM} = 0,588 \text{ kg;} \qquad u_{rel}(m_{FM}) = 0;$ 
 $\varphi_A = 2,632 \text{ Bq·s;} \qquad u_{rel}(\varphi_A) = 0,04;$ 
 $f_2 = 1,000; \qquad u_{rel}(f_2) = 0.$ 

Nach Gleichung (1) beträgt die Zählrate des Radionuklids Sr-85:

$$R_{\rm Sr-85} = \frac{5.0}{4167} \cdot 0.750 \cdot 0.808 \,\rm s^{-1} = 0.000727 \,\rm s^{-1}$$

Nach Gleichung (2) beträgt die spezifische Aktivität des Radionuklids Sr-90:

$$a = \frac{1,00 \cdot 2,632 \cdot [0,04167 - (0,0160 + 0,000727)]}{0,750 \cdot 0,588} \quad \text{Bq} \cdot \text{kg}^{-1} \text{ (FM)} =$$
$$= 0,149 \text{ Bq} \cdot \text{kg}^{-1} \text{ (FM)}$$

Mit den obigen Werten und den entsprechenden Ergänzungen zu Gleichung (4), um die Beiträge des Sr-85 zu berücksichtigen, beträgt die relative Standardunsicherheit der spezifischen Aktivität von Sr-90:

$$\frac{u(a)}{a} = \sqrt{\frac{1}{[0,04167 - (0,0160 + 0,000727)]^2} \cdot \left(\frac{0,04167}{60 \cdot 10^3} + \frac{0,0160}{60 \cdot 10^3}\right) + 0,04^2 + 0,05^2} =$$

$$= \sqrt{0,005646} = 0,0751$$

Die spezifische Aktivität des Radionuklids Sr-90 in der Grünkohlprobe zum Zeitpunkt der Probeentnahme beträgt für dieses Beispiel:

$$a = (0.149 \pm 0.011) \text{ Bq} \cdot \text{kg}^{-1} \text{ (FM)}$$

Die Auswertung kann auch, wie in Abschnitt 7 dargestellt, softwaregestützt erfolgen.

#### 5.2.2 Messpräparat ohne Zugabe von Sr-85

In diesem Rechenbeispiel wurde für die Berechnung der spezifischen Aktivität von Sr-90 der Energiebereich zwischen 20 keV und 1000 keV im Impulshöhenspektrum verwendet.

Es liegen folgenden Werte vor:

$$R_{\rm b}$$
 = 0,1912 s<sup>-1</sup>;  $t_{\rm m}$  = 60·10<sup>3</sup> s;  
 $R_{\rm 0}$  = 0,0790 s<sup>-1</sup>;  $t_{\rm 0}$  = 60·10<sup>3</sup> s;  
 $m_{\rm a}$  = 0,010 kg;  $m_{\rm FM}$  = 0,588 kg;  
 $q_{\rm 1}$  = 10,0;  $q_{\rm 2}$  = 5,88;  
 $\varphi_{\rm A}$  = 2,632 Bq·s;  $u_{\rm rel}(\varphi_{\rm A})$  = 0,04;  
 $\eta_{\rm Sr}$  = 0,750;  $u_{\rm rel}(\eta_{\rm Sr})$  = 0,05;  
 $f_{\rm 2}$  = 1,000.

Nach Gleichung (3) beträgt die spezifische Aktivität des Radionuklids Sr-90:

$$a = \frac{1,00 \cdot 0,585 \cdot (0,1912 - 0,0790)}{0,750 \cdot 0,588} \quad \text{Bq} \cdot \text{kg}^{-1} \text{ (FM)} = 0,149 \text{ Bq} \cdot \text{kg}^{-1} \text{ (FM)}$$

Mit den obigen Werten beträgt nach Gleichung (6) die relative Standardunsicherheit der spezifischen Aktivität von Sr-90:

$$\frac{u(a)}{a} = \sqrt{\frac{1}{(0,1912 - 0,0790)^2} \cdot \left(\frac{0,1912}{60 \cdot 10^3} + \frac{0,0790}{60 \cdot 10^3}\right) + 0,04^2 + 0,05^2} =$$

$$= \sqrt{4,46 \cdot 10^{-3}} = 0,0668$$

Die spezifische Aktivität von Sr-90 in der Grünkohlprobe zum Zeitpunkt der Probeentnahme beträgt für dieses Beispiel:

$$a = (0.149 \pm 0.010) \text{ Bq} \cdot \text{kg}^{-1} \text{ (FM)}$$

Die Auswertung kann auch, wie in Abschnitt 7 dargestellt, softwaregestützt erfolgen.

# 5.3 Unsicherheiten der Analysenergebnisse

Unsicherheitsbeiträge aus der Probeentnahme werden im Rahmen dieser Messanleitungen nicht berücksichtigt, da diese von vielen, oft nicht quantifizierbaren Faktoren abhängen können.

Die kombinierte Standardunsicherheit beinhaltet neben der zählstatistischen auch die systematischen Standardunsicherheiten, z. B. die der Ausbeutebestimmung. Der Mittelwert der spezifischen Aktivität von Dreifachbestimmungen von neun Aliquoten (d. h.

insgesamt 27 Bestimmungen) einer Spinatpulverprobe im Rahmen eines IMIS-Ringvergleichs betrug mit dieser Methode 102 Bq·kg<sup>-1</sup> mit einer Standardabweichung von 6,7 Bq·kg<sup>-1</sup>; dies liegt in guter Übereinstimmung mit dem Mittelwert des Ringvergleichs (Mittelwert aller Teilnehmer nach Ausreißerbereinigung) von 103 Bq·kg<sup>-1</sup> und einer Standardabweichung von 19 Bq·kg<sup>-1</sup> [4].

Beim Ringversuch des Joint Research Centre der Europäischen Kommission mit Wildbeeren als Probenmaterial wurde bei drei Analysen mit dieser Methode einen Mittelwert für die spezifische Aktivität des Sr-90 von 159 Bq·kg<sup>-1</sup> mit einer erweiterten Unsicherheit (Erweiterungsfaktor k=2) von 12 Bq·kg<sup>-1</sup> bestimmt. Dieser Wert stimmt mit dem Referenzwert von 153 Bq·kg<sup>-1</sup> mit einer erweiterten Unsicherheit (k=2) von 8 Bq·kg<sup>-1</sup> gut überein [5].

#### 6 Charakteristische Grenzen des Verfahrens

Die Berechnung der charakteristischen Grenzen erfolgt nach DIN ISO 11929 [6].

Ein Excel-Tabellenblatt (siehe Abschnitt 7.1) sowie eine Projektdatei zum Programm UncertRadio (siehe Abschnitt 7.2) sind auf der Internetseite dieser Messanleitung abrufbar.

Weiterführende Betrachtungen zu den charakteristischen Grenzen finden sich in den Allgemeinen Kapiteln ERK/NACHWEISGR-ISO-01 und ERK/NACHWEISGR-ISO-02 dieser Messanleitungen.

Im Rechenbeispiel wird der Fall betrachtet, dass kein nachweisbarer Beitrag des Radionuklids Sr-85 im Messpräparat zu erwarten ist, d. h. keine Zugabe von Sr-85 zur Probe oder der zugegebene Tracer bereits ausreichend zerfallen ist.

# 6.1 Gleichungen zur Berechnung

#### 6.1.1 Erkennungsgrenze

Zur Berechnung der Nachweisgrenzen des Verfahrens wird zunächst die Erkennungsgrenze  $a^*$  nach Gleichung (7) ermittelt:

$$a^* = k_{1-\alpha} \cdot f_2 \cdot \frac{\varphi_{A}}{\eta_{Sr} \cdot m_{FM}} \cdot \sqrt{R_0 \cdot \left(\frac{1}{t_m} + \frac{1}{t_0}\right)}$$
 (7)

Dabei bedeutet:

 $k_{1-\alpha}$  Quantil der Standardnormalverteilung zur Wahrscheinlichkeit des Fehlers 1. Art  $\alpha$ .

#### 6.1.2 Nachweisgrenze

Damit lässt sich die Nachweisgrenze  $a^{\#}$  nach der impliziten Gleichung (8) berechnen:

$$a^{\#} = a^{*} + k_{1-\beta} \cdot \sqrt{a^{\#^{2}} \cdot u_{\text{rel}}^{2}(\varphi) + \varphi^{2} \cdot \left(\frac{a^{\#}}{t_{\text{m}} \cdot \varphi} + \frac{R_{0}}{t_{\text{m}}} + \frac{R_{0}}{t_{0}}\right)}$$
(8)

mit

$$\varphi = f_2 \cdot \frac{\varphi_{\rm A}}{\eta_{\rm Sr} \cdot m_{\rm FM}}$$

$$u_{\rm rel}(\varphi) = \sqrt{u_{\rm rel}^2(f_2) + u_{\rm rel}^2(\varphi_{\rm A}) + u_{\rm rel}^2(\eta_{\rm Sr}) + u_{\rm rel}^2(m_{\rm FM})}$$

Nach Auflösung von Gleichung (8) wird die Nachweisgrenze nach Gleichung (9)

$$a^{\#} = \frac{a^* \cdot \psi}{\theta} \cdot \left[ 1 + \sqrt{1 - \frac{\theta}{\psi^2} \cdot \left(1 - \frac{k_{1-\beta}^2}{k_{1-\alpha}^2}\right)} \right]$$
 (9)

mit den Hilfsgrößen

$$\theta = 1 - k_{1-\beta}^2 \cdot [u_{\text{rel}}^2(f_2) + u_{\text{rel}}^2(\varphi_{\text{A}}) + u_{\text{rel}}^2(\eta_{\text{Sr}}) + u_{\text{rel}}^2(m_{\text{FM}})]$$

$$\psi = 1 + \frac{k_{1-\beta}^2}{2 \cdot a^*} \cdot f_2 \cdot \frac{\varphi_{\text{A}}}{\eta_{\text{Sr}} \cdot m_{\text{EM}}} \cdot \frac{1}{t_{\text{m}}}$$

berechnet.

In den Gleichungen (8) und (9) bedeuten:

 $k_{1-\beta}$  Quantil der Standardnormalverteilung zur Wahrscheinlichkeit des Fehlers 2. Art β;  $\varphi$  verfahrensbezogener Kalibrierfaktor, in Bq·s·kg<sup>-1</sup>;

 $u_{\mathrm{rel}}(\varphi)$  relative Standardunsicherheit des verfahrensbezogenen Kalibrierfaktors.

# 6.1.3 Grenzen des Überdeckungsintervalls

Eine Betrachtung der Grenzen des Überdeckungsintervalls ist nicht erforderlich.

#### 6.2 Rechenbeispiel

Mit den Werten aus Abschnitt 5.2.2 und den Werten für die Quantile der Standardnormalverteilung  $k_{1-\alpha}=3$  und  $k_{1-\beta}=1,645$  beträgt die Erkennungsgrenze  $a^*$  gemäß Gleichung (7):

$$a^* = 3 \cdot 1,000 \cdot \frac{0,585}{0,750 \cdot 0,588} \cdot \sqrt{0,0790 \cdot \left(\frac{1}{60 \cdot 10^3} + \frac{1}{60 \cdot 10^3}\right)} \text{ Bq} \cdot \text{kg}^{-1} \text{ (FM)} =$$

$$= 3,980 \cdot 0,00162 \text{ Bq} \cdot \text{kg}^{-1} \text{ (FM)} = 6,45 \cdot 10^{-3} \text{ Bq} \cdot \text{kg}^{-1} \text{ (FM)}$$

Nach Gleichung (9) beträgt die Nachweisgrenze  $a^{\#}$ :

$$a^{\#} = \frac{6,45 \cdot 10^{-3} \cdot 1,0046}{0,9889} \cdot \left[ 1 + \sqrt{1 - \frac{0,9889}{1,0092} \cdot \left( 1 - \frac{2,706}{9} \right)} \right] \text{Bq} \cdot \text{kg}^{-1} \text{ (FM)} =$$

$$= 6,552 \cdot 10^{-3} \cdot 1,5610 \text{ Bq} \cdot \text{kg}^{-1} \text{ (FM)} = 10,2 \cdot 10^{-3} \text{ Bq} \cdot \text{kg}^{-1} \text{ (FM)}$$

mit den Hilfsgrößen

$$\theta = 1 - 2,706 \cdot (0,0016 + 0,0025) = 1 - 2,706 \cdot 0,0041 = 0,9889$$

$$\psi = 1 + \frac{2,706}{2 \cdot 6,45 \cdot 10^{-3}} \cdot 1,000 \cdot \frac{0,585}{0,750 \cdot 0,588} \cdot \frac{1}{60 \cdot 10^{3}} = 1 + 209,8 \cdot 1,327 \cdot 16,66 \cdot 10^{-6} = 1,0046$$

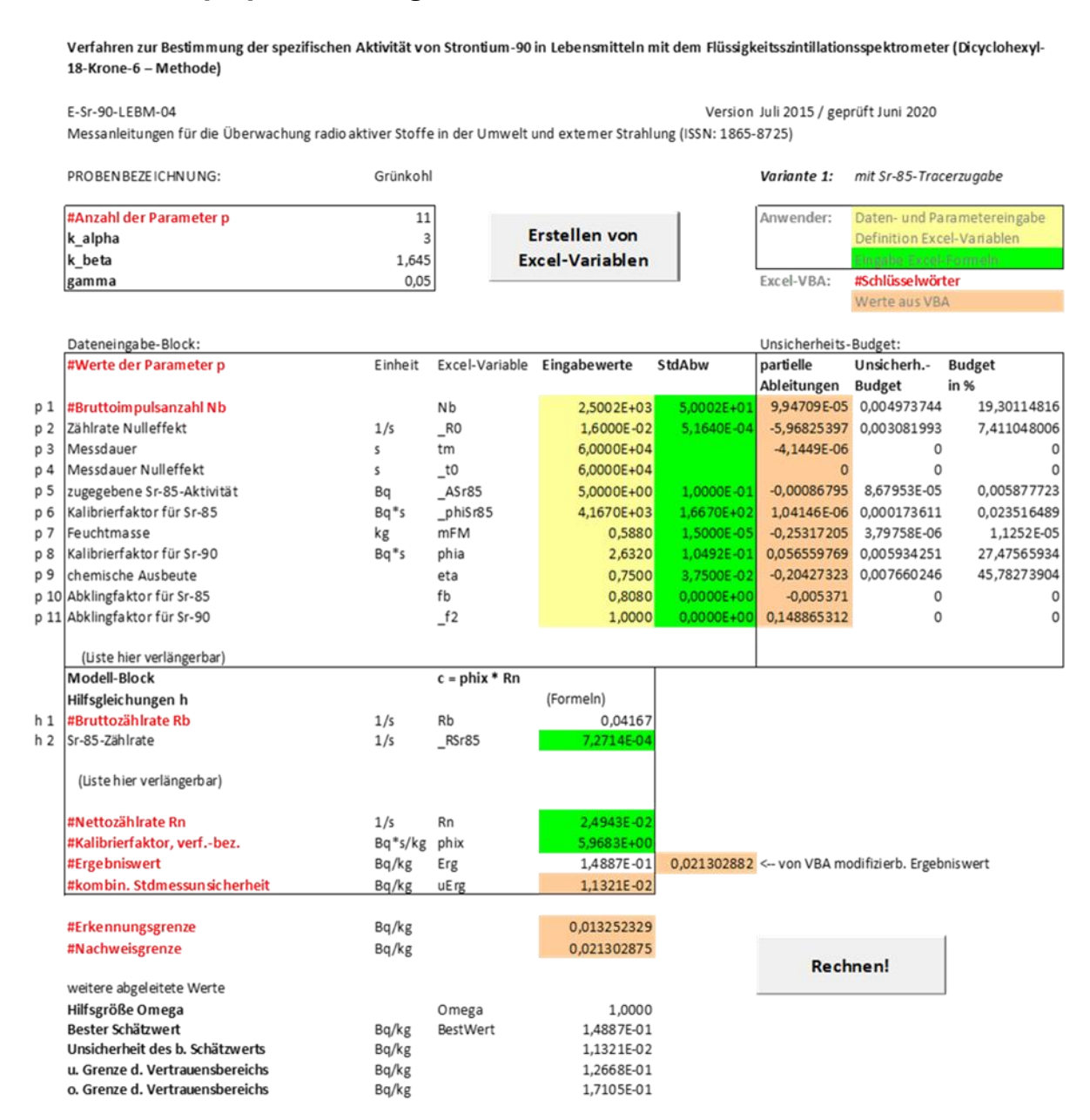
Die im Routinemessprogramm nach AVV-IMIS geforderte Nachweisgrenze der spezifischen Aktivität von  $40 \cdot 10^{-3} \text{ Bq} \cdot \text{kg}^{-1}$  (FM) wird im Fall, dass ein Sr-85-Kontrollpräparat verwendet wurde, bei einer Messdauer von ca. zwei Stunden erreicht [3].

Falls Sr-85 als Ausbeutetracer direkt zu den Messpräparaten gegeben wurde, erhöht dies die Zählrate. Um diesen Beitrag gering zu halten, muss darauf geachtet werden, den Energiebereich für die Messung der Aktivität von (Sr-90+Y-90) im oberen Bereich des Impulshöhenspektrums kleiner zu wählen. Dadurch sinkt das Nachweisvermögen und die Nachweisgrenze nimmt bei gleicher Messdauer zu. Die im Routinemessprogramm nach AVV-IMIS geforderte Nachweisgrenze der Aktivitätskonzentration wird in diesem Fall nach einer Messdauer von ca. drei Stunden bis vier Stunden erreicht.

# 7 Softwaregestütze Auswertung

#### 7.1 Ansicht des Excel-Tabellenblatts

# 7.1.1 Messpräparat mit Zugabe von Sr-85



Das zugehörige Excel-Tabellenblatt ist auf der Internetseite dieser Messanleitung verfügbar.

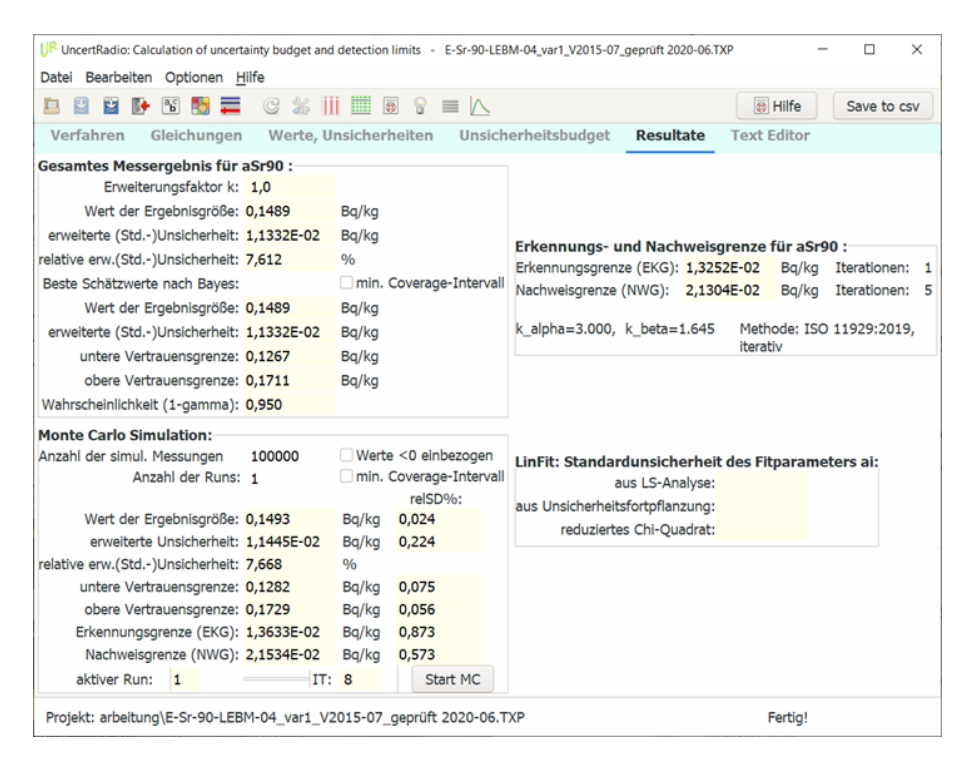
#### 7.1.2 Messpräparat ohne Zugabe von Sr-85

Verfahren zur Bestimmung der spezifischen Aktivität von Strontium-90 in Lebensmitteln mit dem Flüssigkeitsszintillationsspektrometer (Dicyclohexyl-18-Krone-6 - Methode) E-Sr-90-LEBM-04 Version Juli 2015 / geprüft Juni 2020 Messanleitungen für die Überwachung radioaktiver Stoffe in der Umwelt und externer Strahlung (ISSN: 1865-8725) PROBENBEZEICHNUNG: Grünkohl Variante 2: ohne Sr-85-Tracerzugabe #Anzahl der Parameter p Erstellen von k\_alpha k\_beta Excel-Variablen 1,645 0,05 gamma Excel-VBA: #Schlüsselwörter Dateneingabe-Block: Unsicherheits-Budget: Einheit Excel-Variable Eingabewerte StdAbw partielle Unsicherh.- Budget #Werte der Parameter p Ableitungen Budget in % р1 #Bruttoimpulsanzahl Nb Nb 1,1472E+04 1,0711E+0 2,21088E-05 0,002368021 5,678559067 Zählrate Nulleffekt 1/s \_R0 7,9000E-02 1,1475E-03 -1,32653061 0,001522142 2,34626656 p 2 6.0000E+04 Messdauer -4.2272E-06 p 3 s tm 0 0 Messdauer Nulleffekt 6,0000E+04 t0 0 0 Feuchtmasse kg mFM 0.5880 1,5000E-05 -0,25312345 3,79685E-06 1,45987E-05 Kalibrierfaktor phia 0,5850 2,3400E-02 Bq\*s 0,254421769 0,005953469 35,89278905 р6 chemische Ausbeute 0,7500 3,7500E-02 p 7 eta -0.19844878 0.007441829 56.08237073 Abklingfaktor für Sr-90 1.0000 \_f2 0,148836735 (Liste hier verlängerbar) Modell-Block c = phix \* Rn Hilfsgleichungen h (Formeln) #Bruttozählrate Rb 1/s Rb 1,9120E-01 (Liste hier verlängerbar) #Nettozählrate Rn 1/s Rn #Kalibrierfaktor, verf.-bez. Bq\*s/kg phix #Ergebniswert 1,4884E-01 0,010241511 <-- von VBA modifizierb. Ergebniswert Bq/kg Erg kombin, Stdmessunsicherheit 9.9373E-03 Bq/kg uErg #Erkennungsgrenze Bq/kg 0,006457902 #Nachweisgrenze Bq/kg 0,010241511 weitere abgeleitete Werte Hilfsgröße Omega Omega 1.0000 Rechnen! Bester Schätzwert Bq/kg BestWert 1,4884 E-01 Unsicherheit des b. Schätzwerts Bq/kg 9,9373E-03 u. Grenze d. Vertrauensbereichs Bq/kg 1,2936E-01 o. Grenze d. Vertrauensbereichs Bq/kg

Das zugehörige Excel-Tabellenblatt ist auf der Internetseite dieser Messanleitung verfügbar.

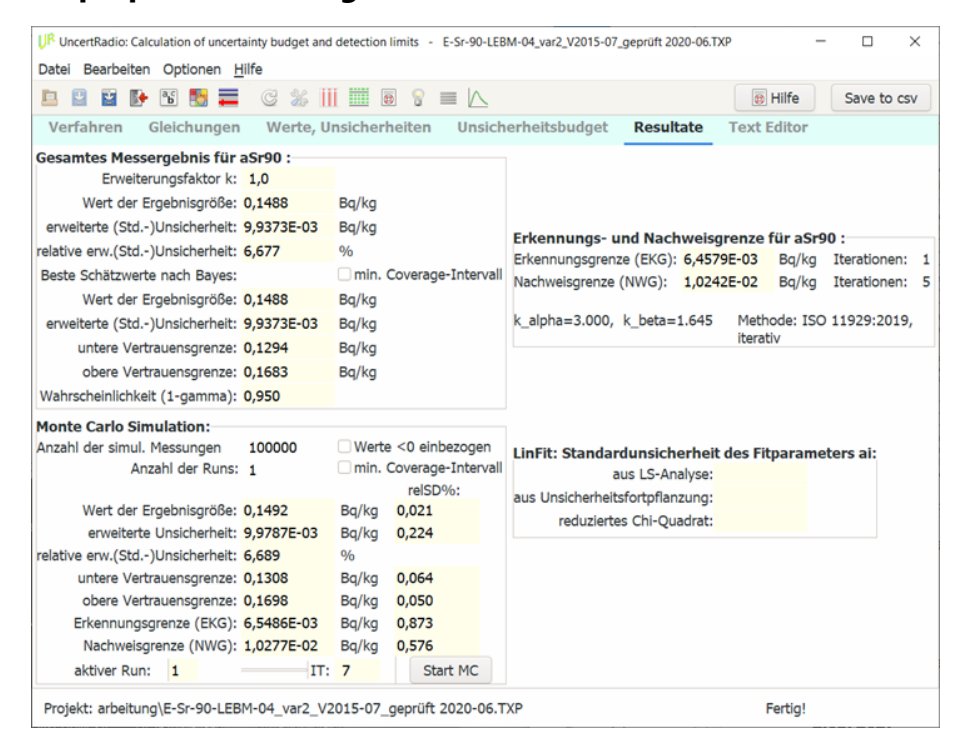
#### 7.2 Ansicht der UncertRadio-Resultatseite

#### 7.2.1 Messpräparat mit Zugabe von Sr-85



Die zugehörige UncertRadio-Projektdatei ist auf der Internetseite dieser Messanleitung verfügbar.

#### 7.2.2 Messpräparat ohne Zugabe von Sr-85



Die zugehörige UncertRadio-Projektdatei ist auf der Internetseite dieser Messanleitung verfügbar.

# 8 Verzeichnis der Chemikalien und Geräte

#### 8.1 Chemikalien

Die verwendeten Chemikalien sollten analysenrein sein.

Ammoniumcarbamat;

Dicyclohexyl-18-Krone-6 in Chloroform: 0,05 mol·l<sup>-1</sup>;

Natriumacetat-Essigsäure-Lösung: 0,05 mol·l<sup>-1</sup> Natriumacetat in

0,05 mol·l<sup>-1</sup> Essigsäure;

Natriumdichromatlösung, Na<sub>2</sub>Cr<sub>2</sub>O<sub>7</sub>: 1,31 mol·l<sup>-1</sup>;

Natriumhydroxidlösung, NaOH:
 3 mol·l<sup>-1</sup>, 10 mol·l<sup>-1</sup>;

— Salpetersäure, HNO₃: 6 mol·l⁻¹;

— Szintillationscocktail:
 z. B. InstantScintGelPlus, UltimaGold LLT;

Toluolsulfonsäure in wässriger Lösung: 100 ml:

25 g Toluolsulfonsäure in 75 ml entionisiertem

Wasser

#### Trägerlösungen

Bariumträgerlösung:
 2 mg Ba<sup>2+</sup> pro ml Lösung:

0,356 g Bariumchloriddihydrat (BaCl<sub>2</sub>  $\cdot$  2 H<sub>2</sub>O) in entionisiertem Wasser lösen, 1 ml Salzsäure (3 mol·l $^{-1}$ ) zugeben, dann auf

100 ml mit entionisiertem Wasser auffüllen;

Strontiumträgerlösung: 20 mg Sr<sup>2+</sup> pro ml Lösung:

6,086 g Strontiumchloridhexahydrat (SrCl<sub>2</sub> · 6 H<sub>2</sub>O) in entionisiertem Wasser lösen, 1 ml Salzsäure (3 mol·l $^{-1}$ ) zugeben, dann

auf 100 ml mit entionisiertem Wasser auffüllen;

Yttriumträgerlösung:
 20 mg Y<sup>3+</sup> pro ml Lösung:

6,83 g Yttriumchloridhexahydrat (YCl $_3 \cdot 6$  H $_2$ O) in entionisiertem Wasser lösen, 1 ml Salzsäure (3 mol·l $^{-1}$ ) zugeben, dann auf

100 ml mit entionisiertem Wasser auffüllen.

#### 8.2 Geräte

Für das Verfahren wird folgende Ausstattung benötigt:

- Schneidemühle mit Sieben für Teilchengröße kleiner 2 mm oder 1 mm und Probenabsaugung sowie Zentrifugalmühle mit einem Sieb für Teilchengröße weniger als 1 mm;
- Veraschungsschalen, z. B. aus Quarz oder Quarzgut 55 mm hoch, 145 mm breit,
   205 mm lang und einer Wandstärke von 4 mm bis 5 mm;

- Kammerofen mit katalytischer Abgasreinigung, z. B. Typ N150 der Fa. Nabertherm, modifiziert mit Luftzutrittsventilen und -verteilungsschlitzen für eine gleichmäßige Veraschung der Proben in der Kammer;
- optional: Mikrowellengerät mit 250 ml-Druckbehältern, z. B. Fa. MLS;
- feine, quantitative Papierfilter mit einem Porendurchmesser kleiner als 2  $\mu$ m, z. B. Blaubandfilter Sorte 589/3, oder Filter aus Zellulosenitrat mit einem Porendurchmesser von 0,45  $\mu$ m;
- Flüssigkeitsszintillationsmessfläschchen aus kaliumarmem Glas;
- Flüssigkeitsszintillationsspektrometer, nach Möglichkeit Low-level-Ausführung mit Vielkanalanalysator;
- Laborzentrifuge.

#### Literatur

- [1] Gesetz zum Schutz vor der schädlichen Wirkung ionisierender Strahlung (Strahlenschutzgesetz StrlSchG) vom 27. Juni 2017. BGBl. I, 2017, Nr. 42, S. 1966.
- [2] Richtlinie zur Emissions- und Immissionsüberwachung kerntechnischer Anlagen (REI) vom 7. Dezember 2005. GMBI. 2006, Nr. 14-17, S. 254.
- [3] Allgemeine Verwaltungsvorschrift zum Integrierten Mess- und Informationssystem zur Überwachung der Radioaktivität in der Umwelt nach dem Strahlenschutzvorsorgegesetz (AVV-IMIS) vom 13. Dezember 2006. BAnz. 2006, Nr. 244a.
- [4] Roos, N., Tait, D.: Vergleichsprüfung mit Spinatpulver als Probenart für umweltrelevante Radionuklide. In: Bundesministerium für Umwelt, Naturschutz, Reaktorsicherheit und Bau und der Universität Bremen, Institut für Umweltphysik, ed.:
  Schriftenreihe Fachgespräche zur Überwachung der Umweltradioaktivität, DatenModelle-Information: Tagungsband des 15. Fachgesprächs zur Überwachung der
  Umweltradioaktivität, Bremen 05. bis 07.03.2013 [online]. Bonn: Januar 2014,
  S. 258 267. ISSN 1869-585X. Verfügbar unter:
  - https://www.bmu.de/fileadmin/Daten\_BMU/Download\_PDF/Strahlenschutz/umwel\_tradioaktivitaet\_tagungsband\_15\_fachgespraech\_bf.pdf [letzter Zugriff am 26.05.2020].
- [5] Merešová, J., Wätjen, U.: Evaluation of EC Comparison on the Determination of <sup>40</sup>K, <sup>137</sup>Cs and <sup>90</sup>Sr-90 in Bilberry Powder. European Commission Joint Research Centre, Institute for Reference Materials and Measurements, ed. [online]. Geel: Publications Office of the European Union, 2013. ISBN 978-92-79-33427-6. Verfügbar unter: <a href="http://publications.jrc.ec.europa.eu/repository/handle/JRC85146">http://publications.jrc.ec.europa.eu/repository/handle/JRC85146</a> [letzter Zugriff am 26.05.2020].

[6] DIN ISO 11929-1:2020 Bestimmung der charakteristischen Grenzen (Erkennungsgrenze, Nachweisgrenze und Grenzen des Überdeckungsintervalls) bei Messungen ionisierender Strahlung – Grundlagen und Anwendungen – Teil 1: Elementare Anwendungen.